

РАДИАЦИОННО-КОНВЕКТИВНЫЙ ТЕПЛООБМЕН В ПЛОСКОМ СЛОЕ СЕЛЕКТИВНОЙ ПОГЛОЩАЮЩЕЙ ЗАВЕСЫ

А. Л. Бурка, Н. А. Рубцов, В. А. Синицын

(Новосибирск)

В работе рассматривается тепловое состояние плоского слоя селективно поглощающего газа, вдуваемого в стабилизированной турбулентный поток высокотемпературного газа, обтекающего пористую пластину. Краевая задача для уравнения энергии сводится к нелинейному интегральному уравнению относительно безразмерной температуры, которое решается численно с помощью итерационного метода Ньютона — Канторовича. Результаты решения представлены на графиках в виде зависимостей температуры и потока тепла в слое поглощающего газа от координаты. Рассмотрение такой задачи для случая серого вдуваемого газа проведено в работе [1].

В плоском слое селективно поглощающей среды перенос тепла осуществляется излучением, конвекцией и молекулярной теплопроводностью. Физические свойства среды и оптические свойства граничных поверхностей предполагаются постоянными. Скорость движения вдуваемого газа является известной функцией координаты. Постановка задачи предполагает одномерный перенос тепла.

В рассматриваемом случае одномерное уравнение энергии и граничные условия на соответствующих поверхностях плоского слоя записываются в виде

$$\rho c_p w(u) \frac{dT}{du} = \lambda \frac{d^2T}{du^2} - \frac{dE}{du}, \quad 0 \leq u \leq \delta \tag{1}$$

$$T(0) = T_1, \quad T(\delta) = T_2 \tag{2}$$

Здесь  $E$  — результирующая плотность полусферического излучения,  $w$  — скорость течения вдуваемого газа. Остальные обозначения обычные.

Безразмерное представление краевой задачи (1), (2) имеет вид

$$\frac{d^2\theta}{d\xi^2} - S_k \left[ \frac{d\Phi}{d\xi} + B_0 f(\xi) \frac{d\theta}{d\xi} \right], \quad 0 \leq \xi \leq 1 \tag{3}$$

$$\theta(0) = \theta_1, \quad \theta(1) = \theta_2 \tag{4}$$

$$\left( \theta = \frac{\theta}{T_*}, \quad \theta_i = \frac{T_i}{T_*}, \quad \varphi = \frac{E}{\sigma_0 T_*^4}, \quad S_k = \frac{\sigma_0 T_*^2 \delta}{\lambda}, \quad B_0 = \frac{\rho c_p w}{\sigma_0 T_*^3}, \quad \xi = \frac{y}{\delta}, \quad f(\xi) = \frac{w(\xi)}{w} \right)$$

Здесь  $f$ ,  $\theta$ ,  $\Phi$ ,  $B_0$ ,  $S_k$ ,  $T_*$ ,  $w_*$ ,  $\sigma_0$ ,  $\delta$  — соответственно безразмерные скорость течения газа, температура, плотность результирующего потока, параметры, характеризующие радиационно-конвективное и радиационно-кондуктивное соотношения в суммарном потоке тепла, размерные характеристическая температура и скорость течения газа, постоянная Стефана — Больцмана, толщина плоского слоя.

Дивергенция потока излучения определяется следующим интегральным соотношением [2]:

$$\frac{d\Phi}{d\xi} = D \int_{z_1}^{z_2} h_z \left\{ 2\varepsilon_z(\xi) - w_{1z}(\xi) - \int_0^1 w_{2z}(\xi, x) \varepsilon_z(x) dx \right\} dz \tag{5}$$

$$\varepsilon_z(\xi) = \frac{z^3}{[\exp(\omega z/\theta(\xi)) - 1]}$$

$$w_{1z}(\xi) = \sigma_z \{ [a_1 \varepsilon_{1z} + 2a_2 r_1 \varepsilon_{2z} K_3(h_z)] K_2(\tau) + [a_2 \varepsilon_{2z} + 2a_1 r_2 \varepsilon_{1z} K_3(h_z)] K_2(h_z - \tau) \}$$

$$w_{2z}(\xi, x) = h_z \{ K_1 | \tau - t | + 2\alpha_z [r_1 (K_2(t) + 2r_2 K_3(h_z) K_2(h_z - t)) \times \\ \times K_2(\tau) + r_2 (K_2(h_z - t) + 2r_1 K_3(h_z) K_2(t)) K_2(h_z - \tau)] \}$$

$$\left( K_n(\tau) = \int_0^1 u^{n-1} \exp(-\tau/u) du, \quad \tau = h_z \xi, \quad t = h_z x \right)$$

$$\alpha_z = [1 - 4r_1 r_2 K_3^2(h_z)]^{-1}, \quad z_i = \frac{y_i}{y_*}, \quad D = 50 \left( \frac{\omega}{\pi} \right)^4, \quad \omega = \frac{h w_*}{k T_*}$$

Здесь  $h_z, a_i, r_i, \nu, \nu_*, k, h, \varepsilon_z, \varepsilon_{iz}, K_n$  — соответственно оптическая толщина слоя, поглощательные и отражательные способности соответствующих поверхностей слоя, текущая и характерная частоты спектра вдуваемого газа, постоянные Больцмана и Планка, функция Планка при текущей температуре  $\theta$  и при температурах  $\theta_i$  соответствующих поверхностей слоя, экспоненциальные интегралы ( $i = 1, 2$ ), ( $n = 1, 2, 3$ ).

Из (5) видно, что  $d\varphi/d\xi$  представляет собой нелинейное относительно  $\theta$  интегральное выражение, вследствие чего уравнение (3) становится нелинейным интегро-дифференциальным. Это обстоятельство не дает возможности получить решение краевой задачи (3), (4) в аналитическом виде. С помощью функции Грина уравнение (3) сводится к нелинейному интегральному уравнению относительно  $\theta$

$$\theta(\xi) = [\theta_1 \operatorname{sh}(1 - \xi) + \theta_2 \operatorname{sh} \xi] \left[ \operatorname{sh} 1 + S_k \int_0^1 F(\theta) G(\xi, x) dx \right]^{-1} \quad (6)$$

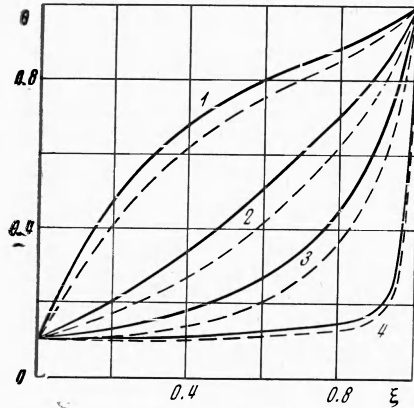
$$F(\theta) = \frac{d\Phi}{dx} G(\xi, x) - B_0 \frac{d}{dx} [f(x) G(\xi, x)]$$

$$G(\xi, x) = \begin{cases} -\frac{\operatorname{sh} x \operatorname{sh}(1 - \xi)}{\operatorname{sh} 1} & (x \leq \xi) \\ -\frac{\operatorname{sh} \xi \operatorname{sh}(1 - x)}{\operatorname{sh} 1} & (x \geq \xi) \end{cases}$$

Здесь  $G$  — функция Грина видоизмененной линейной части дифференциального оператора в (3).

Сведение интегро-дифференциального уравнения (3) к интегральному (6) дает возможность использовать для численного решения задачи эффективные итерационные методы.

При численном решении уравнения (6) интеграл аппроксимируется квадратурной формулой Гаусса. После чего оно сводится к системе нелинейных алгебраических уравнений, порядок которой соответствует числу гауссовых точек. Полученная система уравнений численно решается итерационным методом Ньютона — Канторовича [3].



Фиг. 1

Результаты решения уравнения (6) для различных вариантов значений параметров, характеризующих оптические свойства пористой пластины, интенсивность вдува селективно поглощающего газа, радиационно-кондуктивное соотношение в суммарном переносе тепла, получены при  $\theta_1 = 0.1$  и  $\theta_2 = 1.0$  в виде температурных кривых. В качестве вдуваемой среды взят углекислый газ, спектр поглощения которого заимствован из [4]. В качестве параметра, определяющего радиационно-кондуктивное соотношение принималась величина  $S_k$ . На фиг. 1 представлено распределение безразмерной температуры в слое при  $S_k = 10$ ,  $f(\xi) = 1$ ; сплошные линии соответствуют значениям  $r_1 = 0.9$ ,  $r_2 = 0.1$ ; штриховые —  $r_1 = r_2 = 0.5$ ; кривым 1, 2, 3, 4 соответствуют значения  $B_0 = 0, 0.5, 1.0, 4.0$ .

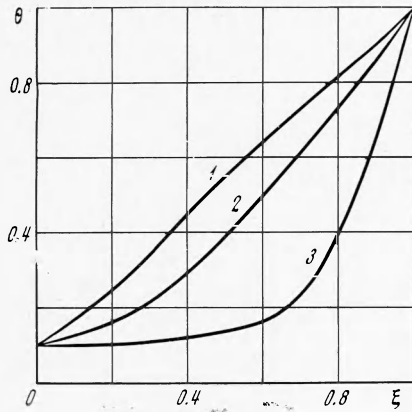
Наблюдается заметное снижение температурного уровня в слое с ростом величины параметра вдува  $B_0$ . Уже при  $B_0 \geq 4$  температурное распределение в слое становится постоянным и равным температуре вдуваемого газа вплоть до горячей поверхности слоя. Кроме того, на формировании температурного профиля сказывается влияние оптических свойств пористой пластины. С увеличением отражательной способности поверхности пористой пластины температурный уровень несколько повышается.

В случае линейного профиля скорости вдуваемого газа  $f(\xi) = 1 - \xi$  влияние параметра вдува  $B_0$  на температурный профиль в слое несколько ослабляется. На фиг. 2 показано распределение безразмерной температуры в слое при  $S_k = 10$ ,  $f(\xi) = 1 - \xi$ ,  $r_1 = r_2 = 0.1$ ,  $\theta_1 = 0.1$ ,  $\theta_2 = 1.0$ ; кривым 1, 2, 3 соответствуют значения  $B_0 = 0.5, 1.0, 4.0$ . Охлаждаемая зона при  $B_0 \geq 4$  становится уже, чем в случае постоянного профиля скорости вдуваемого газа.

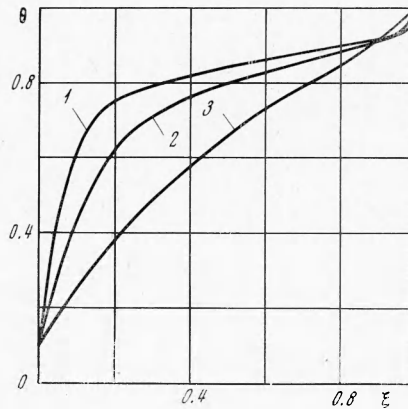
Фиг. 3 иллюстрирует влияние критерия радиационно-кондуктивного соотношения  $S_k$  на формирование температурных профилей при постоянном значении параметров вдува  $B_0$ . Распределение безразмерной температуры в слое показано для значений  $B_0 = 0.15$ ,  $f(\xi) = 1$ ,  $r_1 = 0.9$ ,  $r_2 = 0.1$ ,  $\theta_1 = 0.1$ ,  $\theta_2 = 1.0$ ; кривым 1, 2, 3 соответ-

вуют значения  $S_k = 1000, 100, 10$ . Наблюдаемая картина во многом напоминает тепловое состояние в слое поглощающей среды, обладающей лишь молекулярной теплопроводностью.

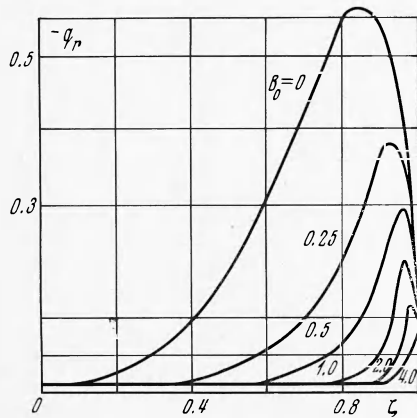
Следует отметить, что качественная картина температурного поля при вдуве селективно поглощающего газа остается такой же, как и в случае вдува серого газа [1]. Однако с точки зрения тепловой защиты завеса из селективно поглощающего газа может оказаться эффективней (зона охлаждения в слое расширяется), чем завеса из серо-



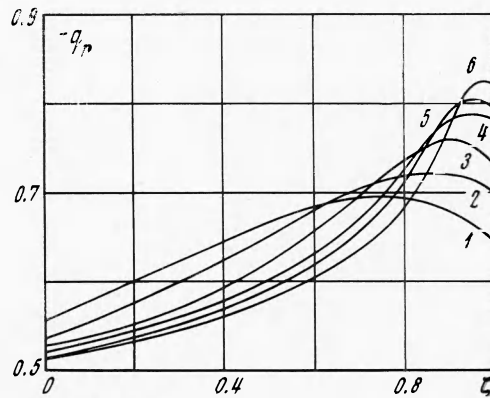
Фиг. 2



Фиг. 3



Фиг. 4



Фиг. 5

го газа. Практический интерес представляет вычисление суммарного потока тепла и его отдельных составляющих (теплопроводной, конвективной и радиационной). Однократным формальным интегрированием уравнения (3) получаем выражение для суммарного потока тепла в случае постоянной по толщине слоя скорости течения газа

$$\begin{aligned}
 q &= q_T + q_k + \Phi = \text{const} & (7) \\
 q_T &= -d\theta/d\xi, \quad q_k = B_0 \theta(\xi) S_k, \quad q_r = \Phi \\
 \Phi(\xi) &= \frac{a_1 a_2}{1 - r_1 r_2} (\theta_1^4 - \theta_2^4) + \int_{z_1}^{z_2} \left[ \Psi_z(h_z \xi) - \frac{D}{2} \frac{a_1 a_2}{1 - r_1 r_2} (\varepsilon_{1z} - \varepsilon_{2z}) dz \right] \\
 \Psi_z(h_z \xi) &= h_z \left\{ 2\varepsilon_z(\xi) - w_{1z}(\xi) - \int_0^1 w_{2z}(\xi, x) \varepsilon_z(x) dx \right\} S_k
 \end{aligned}$$

Здесь  $q_T, q_k, \Phi$  — соответственно безразмерные теплопроводная, конвективная и радиационная составляющие суммарного потока тепла.

Вычисление суммарного значения потока тепла и его составляющих не представляло труда, так как необходимые значения температуры  $\theta$  ранее были получены из решения интегрального уравнения (6). Расчеты проводились для  $S_k = 10$ ,  $f(\xi) = 1$ ,  $\theta_1 = 0.1$ ,  $\theta_2 = 1$ . На фиг. 4 представлена зависимость радиационной составляющей теплового потока  $\varphi(\xi)$  от безразмерной координаты для различных значений критерия  $B_0$  при  $r_1 = 0.9$ ,  $r_2 = 0.1$ .

Аналогичная зависимость для радиационной составляющей представлена на фиг. 5 при  $S_k = 10$ ,  $f(\xi) = 1$ ,  $r_1 = r_2 = 0.1$ ; кривым 1, 2, 3, 4, 5, 6 соответствуют значения  $B_0 = 0, 0.25, 0.5, 1.0, 2.0, 4.0$ . Наблюдаются характерные максимумы (фиг. 4 и фиг. 5), которые по мере возрастания числа  $B_0$  смещаются в сторону горячей стенки. Такое смещение максимумов может быть объяснено влиянием конвективной составляющей потока на суммарный поток тепла и, в частности, на его радиационную составляющую. Уровень экстремальных значений потока в значительной мере определяется оптическими свойствами горячей стенки. В случае низких излучательных способностей (фиг. 4) с ростом критерия  $B_0$  максимальные значения радиационных потоков снижаются и, наоборот, если горячая стенка является хорошо излучающей, характер зависимости потоков от  $B_0$  меняется на обратный (фиг. 5).

Поступила 2 XII 1971

#### ЛИТЕРАТУРА

1. К у т а т е л а д з е С. С., Р у б ц о в Н. А. Лучисто-конвективный теплообмен в плоском слое поглощающей завесы. ПМТФ, 1968, № 6.
2. Б у р к а А. Л., Р у б ц о в Н. А. Нестационарный радиационно-кондуктивный перенос тепла в плоском слое серой поглощающей среды. ПМТФ, 1971, № 1.
3. К а н т о р о в и ч Л. В. О методе Ньютона. Тр. Матем. ин-та АН СССР, 1949, т. 28.
4. S r a g g o w E. M., C e s s R. D. Radiation heat transfer. California, Brooks Cole Publ., Co., 1966.

УДК 538.56

#### ПАРАМЕТРИЧЕСКАЯ НЕУСТОЙЧИВОСТЬ ГРАВИТАЦИОННЫХ ВОЛН НА ПОВЕРХНОСТИ ГЛУБОКОЙ ВОДЫ

*В. Ф. Марченко, А. Ф. Целыковский*

(Москва)

Рассмотрены характерные черты параметрической генерации гравитационных волн на поверхности глубокой воды. Найдены пороговые условия возникновения генерации, результаты сравнены с данными эксперимента. Отмечены особенности возбуждения параметрических колебаний в резонаторе.

Резонансное взаимодействие для поверхностных гравитационных волн проявляется в третьем порядке приближения по параметру  $\mu \sim (ka)$  ( $k$  — волновое число,  $a$  — амплитуда невозмущенной волны) и удовлетворяет условиям

$$\mathbf{k}_1 + \mathbf{k}_2 = \mathbf{k}_3 + \mathbf{k}_4, \quad \omega_1 + \omega_2 = \omega_3 + \omega_4 \quad (1)$$

Хорошо излученными примерами такого рода взаимодействий могут служить явления неустойчивости волны Стокса по отношению к малым возмущениям частоты и амплитуды, синхронной генерации третьей гармоники [1, 2]. Частным видом взаимодействий, удовлетворяющих условиям (1), является параметрическая неустойчивость интенсивной волны, проявляющаяся в самовозбуждении при определенных условиях пары волн, имеющих частоты, близкие к частоте основной волны (накачки). Экспериментально поперечное рассеяние волн на стоячей волне накачки наблюдалось как в лабораторных [3], так и естественных (прибрежной кромке залива) условиях [4]. Однако в отличие от параметрической неустойчивости второго порядка (генерации волн субгармоники [3, 5]) параметрическая неустойчивость поверхностных волн в кубической среде мало исследована. С физической точки зрения это явление аналогично рассеянию волн на волнах в других нелинейных средах, например рассеянию света на свете, хорошо изученному в нелинейной оптике [6, 7]. Отмеченная аналогия позволяет